

~~11/10/17~~



10.10.17



دانشگاه شهید بهشتی

پژوهشکده لیزر و پلاسما

پایان نامه

جهت اخذ درجه کارشناسی ارشد فوتونیک

عنوان:

مطالعه خلاف پلاسما و پرهمکنش آن با کاتد

دانشجو:

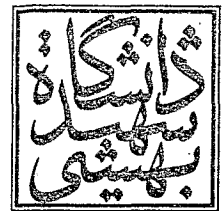
شرمینه رستمی

استاد راهنمای:

۱۳۸۷ / ۱۰ / ۲۶

دکتر حمید رضا قمی

مرداد ۱۳۸۷



## دانشگاه شهید بهشتی

تاریخ .....  
شماره .....  
پیوست .....

بسمه تعالیٰ

تهران ۱۹۸۳۹۶۳۱۱۳ اوین

تلفن: ۲۹۹۰۱

«صور تجلیسه دفاع از پایان نامه دانشجویان دوره کارشناسی ارشد»

بازگشت به مجوز دفاع شماره ۸۷/۴/۵ ت/د مورخ ۲۳۲۰/۰۴/۲۰ هیأت داوران ارزیابی پایان نامه خانم شرمینه رستمی به شناسنامه شماره ۳۰۴۳ صادره از تهران متولد ۱۳۶۳ دانشجوی دوره کارشناسی ارشد ناپیوسته رشته فوتونیک

با عنوان: "مطالعه غلاف پلاسما و بر همکنش آن با کاتو"

به راهنمایی: دکتر قمی مرزدشتی

طبق دعوت قبلی در تاریخ ۸۷/۵/۵ تشکیل گردید و براساس رأی هیأت داوری و با عنایت به ماده ۲۴ آئین نامه کارشناسی ارشد مورخ ۷۵/۱۰/۲۵ پایان نامه مذبور با نمره ۱۹/۲ درجه کامل مورد تصویب قرار گرفت.

۱- استاد راهنمای: دکتر قمی مرزدشتی

۲- استاد داور داخلی: دکتر توسلی

۳- استاد داور خارجی: دکتر قربانعلیلو

۴- نماینده تحصیلات تکمیلی پژوهشکده: دکتر نیکنام

تقدیم به

حامیان همیشگی زندگیم، پدر و مادر عزیزم

هر اثر که تنها با نام یک فرد ثبت می شود، در واقع حاصل همیاری و همدلی جمعی است که کم لطفی است اگر نامی از آنها برده نشود.

به پایان رسیدن این مطالعات بیش از هر چیز مرهون زحمات استاد عزیزم "دکتر حمید رضا قمی" است. حضور ایشان همواره نه تنها به عنوان یک راهنمای بلکه به عنوان یک دوست باعث دلگرمی من در پیمودن این مسیر بود.

از دیدگاه من، پژوهشکده لیزر و پلاسمای بدون اغراق کم نظیر ترین محیط علمی است که فضای همکاری بسیار صمیمانه ای بر آن حاکم است. هر مشکلی یا هر نیازی، اگر راهی داشته باشد، با همکاری دیگر اعضای آن بدون شک، حل خواهد شد.

دکتر سید حسن توسلی و اعضای گروهشان نمونه‌ی بارزی از افراد همراه در پژوهشکده لیزر هستند که بخش تجربی این کار بدون همکاری آنها به نتیجه‌ی مطلوب نمی‌رسید. همچنین همکاران و دوستانم که در آزمایشگاه مانند اعضای یک خانواده همراه من بوده و از هیچ کمکی دریغ نکردن، به ویژه دوستان عزیزم، سیما صدریه و نسرین نواب صفا که در تک تک لحظه‌های تلخ و شیرین در کنارم بودند.

در آخر باید از دکتر رضا مسعودی که ریاست این پژوهشکده بی نظیر را بر عهده دارند، سپاسگزاری کنم. چرا که، پیگیری و کمکهای ایشان پشتوانه‌ی بسیار محکمی در طی این راه برای من بود.

## فهرست مطالب

چکیده

۱ ..... مقدمه

## فصل اول: تخلیه الکتریکی

۴ ..... ۱-۱ مکانیزم کلی تخلیه الکتریکی

۷ ..... ۲-۱ تقسیم بندی انواع تخلیه الکتریکی

۷ ..... ۳-۱ ایجاد تخلیه الکتریکی

۸ ..... ۴-۱ منحنی مشخصه ولتاژ- جریان

۱۴ ..... ۵-۱ کاربردهای انواع تخلیه های الکتریکی

۱۴ ..... ۱-۵-۱ تخلیه الکتریکی کرونا

۱۶ ..... ۱-۵-۲ تخلیه الکتریکی نورانی

۱۸ ..... ۱-۵-۳ تخلیه الکتریکی قوس الکتریکی

۱۹ ..... ۶-۱ غلاف پلاسما

۱۹ ..... ۱-۶-۱ توصیف ساده ای از غلاف پلاسما

۲۰ ..... ۲-۶-۱ نگاهی اجمالی بر مطالعات انجان شده

۲۱ ..... ۷-۱ طیف نگاری

۲۱ ..... ۱-۷-۱ طبقه بندی روشها

۲۲ ..... ۲-۷-۱ فرآیند اندازه گیری

۲۳ ..... ۳-۷-۱ انواع متداول طیف نگاری

۲۵ ..... ۴-۷-۱ طیف نگاری تابش اپتیکی تخلیه الکتریکی نورانی

## فصل دوم: تخلیه الکتریکی نورانی

۲۶ ..... ۱-۲ مکانیزم کلی تخلیه الکتریکی نورانی

۲۹ ..... ۲-۲ فرآیندهای برخوردی داخل پلاسما

۲۹ ..... ۲-۲-۱ برخوردهای الاستیک

۲۹ ..... ۲-۲-۲ برخوردهای منجر به یونیزه یا برانگیخته شدن اتمهای آرگون

۳۱ ..... ۲-۲-۳ یونیزاسیون و تحریک اتمهای کنده شده کاتد

۳۳	۲-۴ باز ترکیب یون مثبت - الکترون.
۳۴	۵-۲-۲ De-excitation
۳۵	۳-۲ فرآیندهایی که در محل دیواره ها رخ می دهند.
۳۵	۳-۲-۱ گسیل الکترونهای ثانویه.
۳۷	۳-۲-۲ کندوپاش
۳۸	۴-۲ مناطق مختلف تخلیه الکتریکی نورانی.
۴۳	۵-۲ تاثیر پارامترهای تخلیه الکتریکی بر مناطق مختلف

فصل سوم: غلاف پلاسمای

۴۶	۱-۳ مدل غلاف بوهمی.
۴۶	۱-۱-۳ حد غلاف بوهمی.
۴۹	۳-۲ غلاف ولتاژ بالا.
۵۰	۱-۲-۳ غلاف ماتریسی.
۵۰	Child Law ۲-۲-۳
۵۲	۳-۳ غلاف برخوردهای.

فصل چهارم: تئوری و محاسبات

۴۸	۱-۴ مدل‌های محاسباتی.
۵۱	۲-۴ مدل ارائه شده.
۵۷	۳-۴ محاسبات و نتایج.
۵۹	۱-۳-۴ حرکت یونی.
۶۲	۲-۳-۴ سرعت و چگالی یونی.
۶۷	۳-۳-۴ اثر فشار گاز (برخوردها) بر غلاف مغناطیسه.
۷۰	۴-۳-۴ اثر میدان مغناطیسی و برخوردها بر دینامیک الکترونی.

فصل پنجم: مواد و روش‌های تجربی

۷۹	۱-۵ مراحل انجام آزمایش.
۷۹	۱-۳-۵ ایجاد تخلیه الکتریکی.

---

۸۱	۲-۳-۵ طیف نگاری
۸۳	۴ نتایج
۸۳	۴-۵ اثر فاصله از کاتد
۸۷	۴-۵ اثر تغییر فشار
۸۹	۴-۵ اثر جریان
۹۱	۴-۵ اثر میدان مغناطیسی
۹۲	۴-۵ اثر جنس کاتد
۹۷	۶-۴-۵ بررسی طیف کاتد
۱۰۰	نتیجه‌گیری
۱۰۳	مراجع
۱۰۹	چکیده به انگلیسی

## چکیده

تخلیه الکتریکی نورانی و پدیده های مرتبط با آن، از دیدگاه تئوری و تجربی در این مطالعه بررسی شده است. مهمترین ناحیه در این نوع از تخلیه الکتریکی، لایه ای تاریک با بار فضایی مثبت و در مجاورت کاتد است که به "غلاف پلاسمما" معروف است.

اثر برخورد های بین ذرات و همچنین میدان مغناطیسی خارجی بر دینامیک یونها، مسئله ای اصلی در بخش تئوری است. دستگاه معادلات مدل شاره به کمک تکنیک های محاسبات عددی حل شده و تغییرات پارامترهای مختلف مربوط به یونها و الکترونها به دست آمدند. میدان مغناطیسی به دلیل نیروی لورنتس، در سرعت و چگالی یونها نوسان ایجاد می کند و برخورد ها باعث کاهش سرعت و انرژی یونها می شوند. همچنین یونها در راستای میدان مغناطیسی اعمالی، جهت گیری می کنند.

از تکنیک طیف نگاری تابش اپتیکی تخلیه الکتریکی نورانی نیز می توان برای مطالعه ناحیه کاتدی تیوب تخلیه الکتریکی استفاده کرد. اثر فشار، جریان، فاصله از کاتد، جنس کاتد و میدان مغناطیسی خارجی در تیوب تخلیه الکتریکی با گاز آرگون و هلیوم بررسی شده است.

همانطور که می دانیم، بیشتر تابش های مشاهده شده در تخلیه الکتریکی نورانی، از DE-EXCITATION اتمهای برانگیخته، ناشی می شود. بنابراین مطالعه تغییرات شدت طول موجه ای گاز و ماده ای کاتدی در ناحیه ای مجاور کاتد، به درک فرآیندهای موجود در این ناحیه، به خصوص توزیع انرژی الکترونها کمک می کند.

شدت طیف گاز با دور شدن از کاتد، کاهش می یابد که البته روند این تغییر با تغییر گاز درون تیوب، کمی متفاوت می شود. با در نظر گرفتن اثرات غلاف پلاسمما در فشارهای پایین، در نزدیکی کاتد شدت کمتری در فشار کمتر می بینیم. اما با افزایش فاصله، شدت در فشارهای کمتر، افزایش می یابد. با افزایش جریان الکتریکی نیز، شدت طیفهای گاز افزایش می یابد. اثر جنس کاتد بر طیف گاز نیز با در نظر گرفتن فرآیند کندوپاش کاتد توجیه می شود و تنها به ضریب گسیل الکترونها ثانویه ای آن بستگی ندارد.

حضور ماده‌ی کاتدی در تیوب تخلیه الکتریکی که طی فرآیند کندو پاش از کاتد انجام می‌شود، با دور شدن از کاتد، کاهش می‌یابد. به دلیل افزایش حاصل کندو پاش با افزایش جریان و کاهش فشار و حضور میدان مغناطیسی، با اعمال این تغییرات، طیف شدیدتری برای ماده‌ی کاتدی خواهیم داشت. نتایج به دست آمده، در بهینه سازی کاربردهای پلاسمما و تخلیه الکتریکی از جمله، کندوپاش و کاشت یون اهمیت به سزایی دارند.

## مقدمه

اصطلاح پلاسما در فیزیک و شیمی معمولاً به گاز یونیزه شده، که حالت بسیار متفاوتی نسبت به جامد و مایع و گاز (سه حالت مرسوم مواد) نیز دارد، اطلاق می‌شود. بارهای الکتریکی آزاد، خاصیت رسانایی الکتریکی برای پلاسما ایجاد کرده و باعث می‌شوند که به هر میدان الکترومغناطیسی به شدت پاسخ دهد.

این حالت از ماده، اولین بار در تیوب تخلیه الکتریکی و توسط ویلیام کروکس<sup>۱</sup> در سال ۱۸۷۹ (او آنرا ماده تابنده نامید [۱]) دیده شد. پس از آن نیز توصیفاتی از آن توسط جی جی تامسن<sup>۲</sup> (۱۸۷۹) [۲] و ایروینگ لانگمویر<sup>۳</sup> (۱۹۲۸) [۳و۴] ارائه شد. لانگمویر در مورد این کشف خود چنین نوشت:

"به جز در اطراف الکترودها، گاز یونیزه شده حاوی تعداد برابری از الکترونها و یونها است که حاصل، بار فضایی بسیار کمی خواهد بود. ما باید برای توصیف این منطقه‌ی شامل الکترونها و یونها برابر از لغت پلاسما استفاده کنیم. [۳]"

همانطور که لانگمویر نیز برای اولین بار اشاره کرد، در اطراف الکترودها، تعداد الکترونها و یونها برابر نیستند و بار فضایی مثبت وجود دارد. این لایه‌ی مجاور با الکترود که آنرا از تخلیه الکتریکی محافظت می‌کند، غلاف پلاسما نام دارد. به دلیل اثرات قابل توجهی که غلاف پلاسما روی الکترود و پدیده‌های درگیر با آن دارد، سالها مورد مطالعه گروه‌های مختلفی از دانشمندان قرار گرفته است.

بررسی‌های مربوط به غلاف، هنوز به نتایج واضح و دقیقی برای تعیین خواص آن، مرز آن با پلاسما و دیگر مسائل مرتبط، نرسیده‌اند. این مطالعات بیشتر با استفاده از تقریبها و مدل‌های مختلف و محاسبات عددی و تطابق نتایج با تعاریف موجود انجام شده‌اند.

<sup>۱</sup> William Crookes

<sup>۲</sup>J.J. Thomson

<sup>۳</sup>Irving Langmuir

به عنوان مثال در نظر گرفتن ولتاژهای بسیار بالا و چگالی صفر برای الکترونها در بسیاری از مدلها برای ساده تر شدن، پایه‌ی محاسبات بوده است. این تقریبات و نتایج آنها در فصل ۳ به تفصیل توضیح داده شده اند. یکی از مهمترین پارامترها در مطالعه غلاف پلاسماء، در نظر گرفتن برخوردهای یونها و اتمها در این ناحیه است که عموماً در فشارهای بسیار پایین از آنها صرفنظر می‌شود. اما همانطور که واضح است، حضور این برخوردها در محاسبات، مدل کاملتر و نتایجی دقیق تر و نزدیکتر به واقعیت خواهد داشت.

مطالعات زیادی در حوزه غلاف غیر برخوردی توسط گروه‌های مختلفی از جمله لم<sup>۴</sup> (۱۹۶۵) [۶]، فرانکلین<sup>۵</sup> (۱۹۷۰) [۷]، ریمن<sup>۶</sup> (۱۹۷۷) [۸-۱۰] و ۱۹۹۱ و ۱۹۹۷ [۱۱] و سلمرواد<sup>۷</sup> و استبرگ<sup>۸</sup> (۲۰۰۱) [۱۲] انجام شده است. در این مطالعات، با استفاده از مدل یون شاره<sup>۹</sup>، توزیع الکترونها و یونها، سرعت آنها و اطلاعات و ساختار غلاف و پیش غلاف<sup>۱۰</sup> که لایه‌ای است برای گذار از پلاسماء به غلاف آن، بررسی شده اند. در نظر گرفتن برخوردها در دینامیک پدیده‌های محدوده غلاف، تغییرات قابل توجهی ایجاد می‌کنند. این تغییرات در مطالعات سو<sup>۱۱</sup> و لم<sup>۱۲</sup> (۱۹۶۳) [۱۲]، فرانکلین<sup>۱۳</sup> (۱۹۷۰) [۷]، گودیاک<sup>۱۴</sup> و استرنبرگ<sup>۱۵</sup> (۱۹۹۰) [۱۳] و ریمن (۱۹۹۷) [۱۰] دیده می‌شوند. در این پایان نامه نیز این پارامتر در محاسبات انجام شده، در نظر گرفته شده است که تغییرات اساسی آن نسبت به مدل‌های بدون برخورد، اهمیت این پارامتر را تأیید می‌کند.

<sup>۴</sup>Lam

<sup>۵</sup>Franklin

<sup>۶</sup>Riemann

<sup>۷</sup>Slemrod

<sup>۸</sup>Sternberg

<sup>۹</sup>Fluid ion model

<sup>۱۰</sup>Pre sheath

<sup>۱۱</sup> Su

<sup>۱۲</sup> Lam

<sup>۱۳</sup> Franklin

<sup>۱۴</sup> Godyak

<sup>۱۵</sup> Sternberg

عامل مهم دیگری که به علت تغییراتی که در غلاف پلاسما ایجاد می کند کاربردهای زیادی دارد، اعمال میدان مغناطیسی است. بررسی های گذشته که در رابطه با اثر میدان مغناطیسی روی غلاف غیر برخورده، انجام شده اند، این تغییرات را نشان داده اند<sup>[۱۴-۱۷]</sup>. ما با توجه به در نظر گرفتن کاربردهای مهمی چون کاشت یون<sup>۱۶</sup> و کندوپاش<sup>۱۷</sup> ترمehای مربوط به میدان مغناطیسی را در محاسباتمان در نظر گرفته ایم و به بررسی جنبه هایی از دینامیک یونها که تا کنون به آن توجه نشده، پرداخته ایم. نتایج محاسبات با در نظر گرفتن میدان مغناطیسی، در بهینه سازی این فرآیندها بسیار موثر است. با توجه به این نکته که لحاظ کردن هر دو پارامتر برخورد و میدان مغناطیسی به طور همزمان کمتر انجام شده است، این مطالعه در نوع خود جدید است.

بررسی تخلیه الکتریکی نورانی توسط طیف نگاری، در مطالعه تجربی ناحیه کاتدی و اثراتی که غلاف پلاسما و پدیده های داخل آن روی شدت طیفهای موجود می گذارند، به تائید نتایج تصوری، کمک می کنند. پدیده ای مهم دیگری که از اثرات آن نمی توان صرف نظر کرد، برخورد یونها پر از رژی با کاتد و گسیل الکترونهای ثانویه از سطح آن است که برای پایدار نگه داشتن تخلیه الکتریکی بسیار ضروری هستند. نسبت تعداد این الکترونهای ثانویه به تعداد ذرات برخورد کننده، ضریب گسیل الکترونهای ثانویه نام دارد که به جنس کاتد به شدت وابسته است. نوع گاز، فشار، جریان و فاصله از کاتد نیز در نوع و شدت طول موجهای مشاهده شده ای حاصل از طیف نگاری اپتیکی بسیار موثراند.

گروه های مختلفی [۲۵-۲۷] از جمله رونسکی<sup>۱۸</sup> و همکارانش [۲۲-۲۵] مطالعات و آزمایشات زیادی در این زمینه انجام داده اند. حاصل این بررسی ها تأثیر به سزایی در بهبود شرایط و حاصل کندوپاش و کاربردهای دیگر داشته است.

در این پایان نامه، اثر جنس کاتد بر ناحیه کاتدی نیز، به کمک طیف نگاری اپتیکی بررسی شده است. نتایج به دست آمده، مطالعه تغییرات طیف نشری کاتد با تغییر شرایط آزمایش نیز اهمیت خود را به خصوص در فرآیند کندوپاش نشان می دهد.

<sup>۱۶</sup>Ion implantation

<sup>۱۷</sup>Sputtering

<sup>۱۸</sup>Wronski

# فصل اول

## تخلیه الکتریکی

### ۱-۱ مکانیزم کلی تخلیه الکتریکی

اصطلاح "تخلیه الکتریکی گاز" از فرآیند تخلیه یک خازن در مداری شامل دو الکترود با فاصله مشخص، نشست گرفته است. اگر ولتاژ به حد کافی بالا باشد، شکست الکتریکی<sup>۱</sup> رخ داده و گاز یونیزه می شود. در این حالت مدار بسته شده و خازن تخلیه می شود. امروزه، این عبارت به شارش جریان الکتریکی از گاز یونیزه و هر فرآیند یونیزاسیون توسط اعمال میدان الکتریکی، اتصال می شود.

اگر ولتاژ کمی به الکترودها اعمال شود، در حدود چند ده ولت، دستگاه های بسیار حساس، جریان بسیار کمی در حدود  $10^{-15}$  آمپر را نشان می دهند اما هیچ اثر قابل مشاهده ای به وجود نخواهد آمد.

---

<sup>۱</sup>Break down

بارهایی که توسط پرتوهای کیهانی و رادیوакتیو های طبیعی ایجاد شده اند توسط میدان اعمال شده، به سمت الکترودهای با بار مخالف کشیده می شوند. در پلاسماء الکترونها به سمت آند و یونهای مثبت به طرف کاتد شتاب گرفته و متناویا با ذرات خشی گاز زمینه برخورد می کنند و جریان کمی ایجاد می کنند. اگر گاز تحت تابش رادیوакتیو یا اشعه  $X$  قرار بگیرد، جریانی تا  $10^{-6}$  آمپر نیز ایجاد می شود اما هنوز یونیزاسیونهای ایجاد شده در حدی نیستند که نور تولید کنند. تخلیه یا جریانی که تنها با کمک منبع خارجی باقی بماند ( مثلا گرم کردن کاتد ) ، غیر خود نگه دار<sup>۲</sup> نامیده می شود. با ادامه افزایش ولتاژ، جریان غیر خود نگه دار افزایش می یابد. تا جایی که میدان تمام بارهای جدید را به سمت الکترودها کشانده و جریان به حالت اشباع برسد. زمان رسیدن به جریان اشباع به ترخ یونیزاسیون گاز بستگی دارد. با ادامه افزایش ولتاژ، جریان نیز زیاد شده و در ولتاژ خاصی که شکست الکتریکی رخ می دهد، تابش نور قابل مشاهده است. در فشار ۱ تور و فاصله ۱ سانتی متر بین الکترودها، اندازه این ولتاژ چند صد ولت است. پس از این مرحله، تخلیه به سرعت به حالت خود نگه دار<sup>۳</sup> می رسد. الکترونها با حرکت در میدان، انرژی بیشتری کسب کرده و با رسیدن به انرژی یونیزاسیون اتمی، باعث ایجاد الکترونهای جدید می شوند. این الکترونها کم سرعت نیز فرآیند قبل را طی می کنند که نتیجه آن، بهمن الکترونی خواهد بود. گاز در این مرحله در مدت  $10^{-7}$  تا  $10^{-3}$  ثانیه به اندازه کافی یونیزه شده و جریان چندین برابر می شود.

در ادامه فرآیند با افزایش ولتاژ در فشار های پایین ۱ تا  $10^{-1}$  تور و مقاومت بالای مدار خارجی که از افزایش بیش از حد جریان جلوگیری می کند، تخلیه الکتریکی نورانی<sup>۴</sup> ایجاد می شود. جریان در این نوع تخلیه الکتریکی در حدود  $10^{-1} - 10^{-3}$  آمپر و ولتاژ صد تا هزار ولت است. ستون نورانی تشکیل شده در طول تیوب یکنواخت بوده و از نظر الکتریکی در همه جا به جز نزدیک الکترودها خشی است.

<sup>۱</sup>Non-Self Sustaining

<sup>۲</sup>Self sustaining

<sup>۳</sup>Glow Discharge

یونیزاسیون در این نوع تخلیه ضعیف،  $X = 10^{-9}$  (نسبت اتمهای یونیزه شده به کل اتمهای موجود در گاز) و از دو نظر نیز غیر پایدار است. اول اینکه، الکترونها در حدود ۱ الکtron و لوت از میدان انرژی گرفته و دمایی حدود  $10^4$  کلوین دارند در حالی که دمای گاز و یونها بیشتر از  $300$  کلوین نخواهد شد. همچنین به دلیل نرخ بالای خنثی شدن ذرات باردار در گاز سرد، درجه یونیزاسیون بسیار کمتر از حالت تعادل ترمودینامیکی است که الکترونها به طور معمول و با این دما به آن می رستند.

اگر فشار گاز بالا (در حد اتمسفری) و مقاومت مدار کم باشد، بلا فاصله بعد از شکست، قوس الکتریکی<sup>۰</sup> ایجاد می شود . این نوع تخلیه الکتریکی اولین بار توسط محقق روسی، پترو<sup>۱</sup>، در سال ۱۸۰۲ کشف شد. معمولاً جریان در این حالت بیشتر از ۱ آمپر و لتاژ چند ده ولت است. قوس الکتریکی گرمای زیادی تولید می کند که می تواند باعث از بین رفتن تیوب شیشه ای شود. در این مرحله، پلاسمای ایجاد شده تعادل ترمودینامیکی داشته ( $T \approx T_e$  کلوین) و یونیزاسیون  $X = 10^{-3}$  می باشد. قوس الکتریکی در نوع فرآیند گسیل الکترونها از کاتد با تخلیه الکتریکی نورانی بسیار متفاوت است. در تخلیه الکتریکی نورانی، الکترونها توسط برخورد یونهای مثبت با کاتد فلزی سرد ایجاد شده ولی در قوس الکتریکی، جریان بالا کاتد را گرم کرده و تابش گرمایونی<sup>۷</sup> خواهیم داشت.

در فشار حدود ۱ اتمسفر، فاصله بیشتر از  $10$  سانتی متری الکترودها و لتاژ بالا، جرقه الکتریکی<sup>۸</sup> ایجاد می شود. شکست الکتریکی گاز بین دو الکترود، به سرعت گسترش یافته، الکترودها اتصال کوتاه شده و بین آنها کانالی با درجه یونیزاسیون بالا ایجاد می شود. رعد و برق که الکترودهای باردار و زمین هستند، نمونه بزرگی از جرقه های الکتریکی است. در نهایت، تخلیه الکتریکی کرونا<sup>۹</sup> در میدانهای شدیداً غیر یکنواخت که برای ایجاد شکست گاز در طول فاصله بین الکترودها کافی نیستند ، شکل می گیرد. کرونای نورانی در لتاژ های بالا در انتهای نوک تیز سیمهها و در کنار خطوط رسانای انتقال برق دیده می شود.

<sup>۰</sup>Arc Discharge

<sup>۱</sup>Petrov

<sup>۷</sup>Thermoionic

<sup>۸</sup>Spark

<sup>۹</sup>Corona Discharge

## ۲-۱ تقسیم بندی انواع تخلیه الکتریکی

محدوده فرکانس میدان در تقسیم بندی تخلیه الکتریکی بسیار موثر است. فرکانس، میدانها را به چند دسته ۱) مستقیم، فرکانس پایین و پالسی (جز پالسهای خیلی کوتاه) ۲) فرکانس رادیویی ( $f \approx 10^8 - 10^9 \text{ Hz}$ ) ۳) میدان‌های مایکروویو ( $\lambda \approx 10^1 - 10^2 \text{ cm}$ ) و ۴) میدان‌های اپتیکی (دور از مادون قرمز تا فرابینش) تقسیم می‌کند [۳۴]. فشارو یا شرایطی که تخلیه الکتریکی در آن ایجاد می‌شود، از جمله اعمال میدان مغناطیسی نیز در این تقسیم بندیها موثر هستند [۳۵].

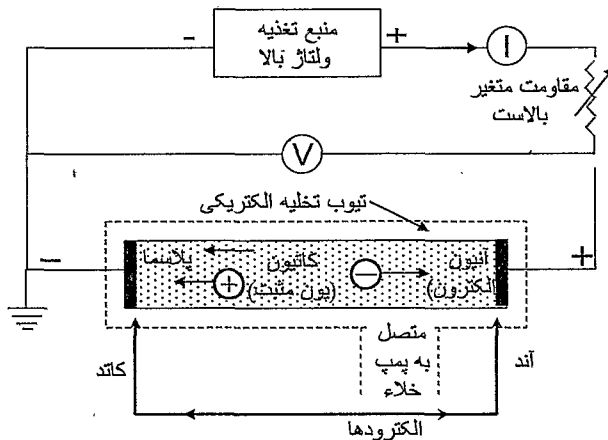
## ۳-۱ ایجاد تخلیه الکتریکی

ساده ترین آزمایش در بسیاری از انواع تخلیه، اغلب با استفاده از تیوب تخلیه الکتریکی، دو الکترود فلزی که به منبع تغذیه جریان مستقیم متصل و داخل یک تیوب شیشه‌ای قرار گرفته‌اند، انجام می‌گیرد (شکل ۱-۱). تیوب ممکن است خلا شده و یا با گازهای مختلف در فشارهای متفاوت پر شود. کمیتهايی که اندازه گیری می‌شوند، معمولاً ولتاژ بین دو الکترود و جریان عبوری از مدار هستند. این ساختار ساده بیش از ۱۵۰ سال مورد استفاده قرار گرفته و هم اکنون نیز کاربرد دارد.

با تغییر مقاومت بالاست<sup>۱۱</sup> ( مقاومت مدار خارجی که برای کنترل جریان استفاده می‌شود) منحنی مشخصه ولتاژ- جریان که یک منحنی غیر خطی است، به دست می‌آید.

<sup>۱۰</sup> Microwave field

<sup>۱۱</sup>Ballast



شکل ۱-۱- نمای تیوب تخلیه الکتریکی کم فشار

#### ۱-۴ منحنی مشخصه ولتاژ- جریان

مراحل مختلف تخلیه الکتریکی مستقیم در جدول ۱-۱ نشان داده شده اند. با استفاده از تیوبی مانند

شکل ۱-۱ و افزایش ولتاژ همراه با اندازه گیری جریان، نموداری مانند شکل ۲-۱ به دست خواهد آمد [۳۶].

با شروع از ولتاژ پایین، در ابتدا ناحیه بین A و B، ناحیه یونیزاسیون توسط تابش های زمینه. را مشاهده می کنیم که در آن با افزایش ولتاژ، کسر زیاد و رو به رشدی از یونها و الکترونهای حاصل از تابش زمینه جایه جا می شوند (حرکت ذرات باردار در میدان الکتریکی به سمت الکترودهای با بار مخالف و ایجاد جریان کم از A تا B).

با افزایش ولتاژ بین الکترودها در ناحیه بین B و C، تمام یونها و الکترونهایی که توسط تابشها زمینه به وجود آمده اند، در اثر نیروی حاصل از میدان الکتریکی، از ناحیه تخلیه جمع شده و منجر به اشباع جریان می شوند. در این منطقه که الکترونها انرژی کافی برای ایجاد یونیزاسیونهای جدید را ندارند با افزایش ولتاژ، جریان همچنان ثابت خواهد ماند. جریان ایجاد شده در این منطقه در حدود چند پیکو تا نانو آمپر است و مستقل از ولتاژ اعمالی، به صورت خطی با قدرت چشمی تابش ( $S = \frac{dn}{dt}$ ) تعداد الکترونها یا یونهایی که چشمی تابش در واحد حجم تیوب ایجاد می کند) رابطه دارد.

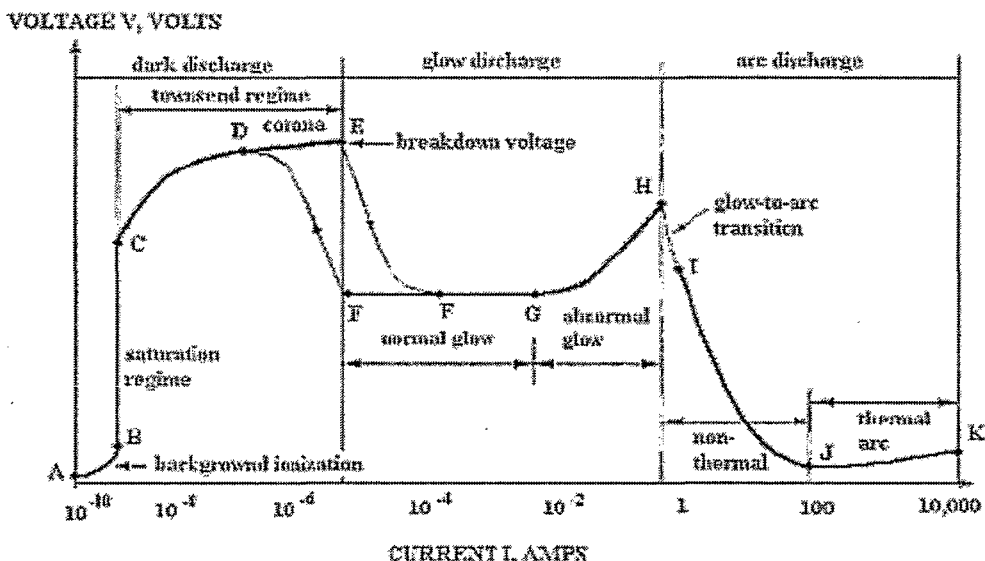
جدول ۱-۱- نواحی مختلف موجود در تخلیه الکتریکی جریان مستقیم کم فشار

یونیزاسیون زمینه	•	
ناحیه اشباع	•	
ناحیه تاونزند <sup>۱۲</sup>	•	تخلیه های الکتریکی تاریک
تخلیه الکتریکی کرونا	•	
شکست الکتریکی	•	
تخلیه الکتریکی نورانی طبیعی <sup>۱۳</sup>	•	
تخلیه الکتریکی نورانی غیر طبیعی <sup>۱۴</sup>	•	تخلیه های نورانی
گذار نورانی - قوس الکتریکی	•	
قوس الکتریکی غیر حرارتی <sup>۱۵</sup>	•	
قوس الکتریکی حرارتی <sup>۱۶</sup>	•	تخلیه الکتریکی قوس الکتریکی

در ناحیه بین C و E، ناحیه تاونزند، الکترونها در منطقه تخلیه، از میدان الکتریکی انرژی کافی به دست می آورند و اتمهای خشی گاز زمینه را نیز یونیزه می کنند. الکترونها اولیه به همراه الکترونها ثانویه ایجاد شده، از میدان انرژی گرفته و باعث یونیزاسیونهای جدید می شوند. به این ترتیب، بهمنی از الکترونها و یونها حاصل شده و جریان به سرعت و به صورت نمایی با افزایش ولتاژ، افزایش می یابد.

با در نظر گرفتن پدیده های موثر (مانند تکثیر الکترونها، تابش الکترونها ثانویه، یونیزاسیون توسط برخورد الکترونی) در تخلیه تاونزند به رابطه زیر برای چگالی جریان دریافتی توسط سطح الکترودها دست می یابیم:

<sup>۱۲</sup>Townsend<sup>۱۳</sup>Normal Glow Discharge<sup>۱۴</sup>Abnormal Glow Discharge<sup>۱۵</sup>Non-Thermal Arc Discharge<sup>۱۶</sup>Thermal Arc Discharge



شکل ۲-۱ - منحنی مشخصه جریان- ولتاژ برای انواع مختلف تخلیه های الکتریکی [۱۶]

$$J = J_0 \frac{e^{\alpha d}}{1 - \gamma(e^{\alpha d} - 1)} \quad (1-1)$$

$J_0$ ، چگالی جریان حاصل از الکترونهای اولیه و الکترونهای ثانویه گسیلی از کاتد ،  $\alpha$  ، ضریب یونیزاسیون اول تاوزنند، تعداد برخوردهای یونیزه کننده ای است که به طور میانگین توسط الکترونی که یک متر در طول میدان الکتریکی حرکت می کند، انجام می شود و  $\gamma$  ضریب تابش الکترونهای ثانویه، تعداد الکترونهای گسیل شده از کاتد به ازای برخورد هر یون یا فوتون است.

بین نقاط D و E تخلیه های تک قطبی کرونا، از تمرکز محلی میدان الکتریکی در نقاط نوک تیز روی سطح الکترودها، لبه های تیز یا ناصاف، ایجاد می شوند. در جریانهای نسبتا بالا این نوع تخلیه نیز با چشم دیده می شود. کرونا با جرقه های الکتریکی یا شکست الکتریکی نباید اشتباہ گرفته شود. جرقه یا